
ПРИКАСПИЙСКИЙ ЖУРНАЛ: управление и высокие технологии № 2 (6) 2009

4. Грибов, Л. А. Методы и алгоритмы вычислений в теории колебательных спектров молекул / Л. А. Грибов, В. А. Дементьев. – М. : Наука, 1981. – 356 с.
5. Краснощеков, С. В. Масштабирующие множители как эффективные параметры для коррекции неэмпирического силового поля / С. В. Краснощеков, Н. Ф. Степанов // Журнал физической химии. – 2007. – Т. 81, № 4. – С. 680–689.
6. Лисица, М. П. Резонанс Ферми / М. П. Лисица, А. М. Яремко. – Киев : Наукова думка, 1984. – 250 с.
7. Минкин, В. И. Теория строения молекул / В. И. Минкин, Б. Я. Симкин, Р. М. Миняев. – Ростов н/Д. : Феникс, 1997. – 560 с. – ISBN 5-222-00106-7.
8. Свердлов, Л. М. Колебательные спектры многоатомных молекул / Л.М. Свердлов, М. А. Ковнер, Е. П. Крайнов. – М. : Наука, 1970. – 560 с.
9. Элькин, П. М. Квантовомеханический анализ эффектов ангармоничности в многоатомных молекулах : дис. ... канд. физ.-мат. наук / Элькин Павел Михайлович. – Саратов, 2005.
10. A new approach to vibrational analysis of large molecules by density functional theory: Wavenumber-linear scaling method / H. Yoshida, K. Takeda, J. Okamura, A. Ehara, H. Matsuura // Journal of Physical Chemistry. A. – 2002. – Vol. 106, № 14. – P. 3580–3586.
11. Gaussian 03. Revision A.7 / M. J. Frisch [et al.]. – Pittsburgh : Gaussian Inc, 2003.
12. Mikawa, Y. Polarized infrared spectra of crystals of ethyl alcohol / Y. Mikawa, J. W. Brasch, R. J. Jakobsen // Spectrochimica Acta. – 1971. – Vol. 27A. – P. 529–539.
13. Nielsen, H. H. The vibration-rotation energies of molecules and their spectra in the infrared / H. H. Nielsen // Handbook der Physik. – 1957. – Vol. 37, № 1. – P. 173–313.

УДК 539.193/.194;535/.33/34

СТРУКТУРНО-ДИНАМИЧЕСКИЕ МОДЕЛИ ПЯТИЧЛЕННЫХ АЗАЦИКЛИЧЕСКИХ СОЕДИНЕНИЙ. 1,2,5- и 1,3,4-ОКСОДИАЗОЛЫ И ТИАДИАЗОЛЫ

М.Д. Элькин, А.П. Смирнов, Е.А. Джалимхамбетова

Построены структурно-динамические модели пятичленных циклических соединений 1,2,5- и 1,3,4-оксодиазола и тиадиазола с учетом ангармонических эффектов. Выяснено влияние выбора базисного набора на результаты теоретического анализа колебательных состояний исследуемых соединений. Расчеты спектров осуществлены неэмпирическим квантовым методом DFT/B3LYP для 12-ти базисов от 6–31 G(d) до 6–311 ++G(d,p).

Ключевые слова: оксодиазол, тиадиазол, молекулярное моделирование, неэмпирические методы, DFT, колебательный спектр, ИК-спектр.

Key words: oxodiazole and thiadiazole, molecular modeling, ab initio methods, DFT, vibrational spectra, IR-spectra.

Пятичленные азациклические соединения – 1,2,5- и 1,3,4-оксодиазолы и тиадиазолы (см. рис.) являются фрагментами сложных молекулярных систем, имеющих важное практическое назначение. При построении структурно-динамических моделей таких соединений спектрохимические методы исследования, в том числе и колебательная спектроскопия, являются доминирующими. На этом пути появляется возможность оценить адабатический потенциал молекулярной системы, отвечающий за физико-химические свойства соединений.

СИСТЕМНЫЙ АНАЛИЗ И МАТЕМАТИЧЕСКОЕ МОДЕЛИРОВАНИЕ

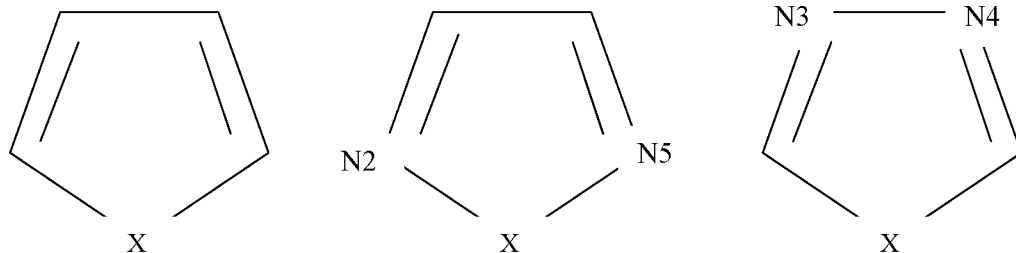


Рис. Пятичленные циклические соединения ($X = O, S$)

Предварительные результаты теоретического анализа колебательных состояний 1,2,5- и 1,3,4-оксодиазолов и тиадиазолов (их часто называют 2,5-, 3,4- N-замещенные фурана и тиофена, где соответствующие атомы углерода кольца заменены атомами азота) представлены в работах [4–6]. Основная цель этих публикаций – выяснение предсказательных возможностей неэмпирических квантовых методов расчета геометрической и электронной структуры пятичленных циклических соединений в оценке параметров адиабатического потенциала молекул с учетом ангармонических эффектов. При этом исследование проводилось в рамках метода функционала плотности DFT/B3LYP [7].

Поскольку для исследуемых соединений отсутствуют данные по колебательным спектрам дейтерозамещенных аналогов [9], решение обратных задач не представляется возможным. Применение квантовых методов наталкивается на проблему выбора атомного базиса, поскольку атомы азота пятичленного цикла обладают неподеленной парой электронов валентной электронной оболочки. Статья посвящена решению этой проблемы.

Структурно-динамические модели. При построении структурно-динамических моделей 1,2,5- и 1,3,4-оксодиазолов и тиадиазолов предполагалась их плоская структура и принадлежность к группе симметрии C_{2v} .

Оптимизация геометрии и расчет параметров адиабатического потенциала осуществлялась для 12-ти различных базисных наборов – от 6–31 G(d) до 6–311 ++G(d,p) [8]. Результаты представлены в таблице 1. Имеет место хорошее совпадение экспериментальных данных по длинам валентных связей и величинам валентных углов с вычисленными значениями параметров. Выбор базиса оказывается в третьем знаке мантиссы для валентных связей и во втором для валентных углов.

Таблица 1
Геометрические параметры 1,2,5- и 1,3,4-оксодиазолов и тиадиазолов

Связи, Углы	1,2,5-оксодиазол		1,3,4-оксодиазол		1,2,5-тиадиазол		1,3,4-тиадиазол	
	Экс. [9]	Выч.	Экс. [9]	Выч.	Экс. [9]	Выч.	Экс. [9]	Выч.
R _{2,3}	1,30	1,31	1,29	1,29	1,33	1,38	1,30	1,30
R _{3,4}	1,42	1,42	1,39	1,40	1,42	1,42	1,37	1,37
R _{2,X}	1,38	1,37	1,35	1,36	1,63	1,66	1,72	1,74
A _{2,3,4}	108,9	108,9	105,6	105,8	113,8	114,3	112,2	112,2
A _{2,3,6}	120,9	120,3	–	–	119,9	119,9	–	–
A _{3,2,X}	105,8	105,3	113,4	113,4	106,5	106,5	114,6	114,7
A _{3,2,7}	–	–	128,5	129,5	–	–	122,9	122,1
A _{2,X,5}	110,4	111,6	102,0	101,5	99,4	98,3	86,4	85,6

Модельный гамильтониан, учитывающий влияние ангармонизма во втором порядке теории возмущения, имеет вид [2]:

ПРИКАСПИЙСКИЙ ЖУРНАЛ:
управление и высокие технологии № 2 (6) 2009

$$H^{(v)} = \frac{1}{2} \left\{ \left[P_s^2 + (\omega_s \tilde{Q}^s)^2 \right] + \left[F_{srt} \tilde{Q}^s \tilde{Q}^r \tilde{Q}^t \right] + \left[F_{sriv} \tilde{Q}^s \tilde{Q}^r \tilde{Q}^i \tilde{Q}^v \right] \right\} \quad (1)$$

Решение колебательного уравнения с гамильтонианом (1) дает следующее выражение для колебательных уровней энергии:

$$E^{(v)} = \omega_s (n_s + 1/2) + \chi_{sr} (n_s + 1/2)(n_r + 1/2)(1 + \delta_{sr}/2), \quad (2)$$

здесь \tilde{Q}^s – криволинейные колебательные координаты, линейно связанные с естественными колебательными координатами, P_s – соответствующие им операторы импульсов; F_{srt} – кубические, F_{sriv} – квартичные силовые постоянные; ω_s (см^{-1}) – частоты гармонических колебаний, χ_{sr} (см^{-1}) – ангармонические поправки, n_s – квантовые числа колебательного состояния. Везде предполагается суммирование по индексам s, r . Влияние ангармонических резонансов [2], связанных с наличием в выражении для ангармонических постоянных слагаемых вида $1/(\omega_s \pm \omega_r \pm \omega_t)$ χ_{sr} , можно учесть для двух колебательных состояний $E_i(v_i)$ и $E_{jk}(v_j + v_k)$, используя в качестве возмущения кубические силовые постоянные K_{ijk} , из соотношения [3]:

$$E = \{(v_i + v_j + v_k) \pm (K_{ijk}^2 (1 + \delta_{jk}) / 2 + (v_i - v_j - v_k)^2)^{1/2}\} / 2 \quad (3)$$

Результаты проведенного численного эксперимента, сопоставленные с экспериментальными данными по колебательным спектрам 1,2,5- и 1,3,4-оксадиазолов и тиадиазолов, представлены в таблицах 2–7.

Из таблиц 2, 3 следует, что выбор базисного набора не влияет на интерпретацию колебательных спектров молекул. Оценки интенсивностей полос в спектрах ИК и КР в каждом базисе согласованы между собой и с правилами отбора в колебательных спектрах.

Таблица 2

Влияние базиса на вычисленные значения параметров колебательных спектров 1,3,4- оксадиазола и 1,2,5- оксадиазола

Тип сим.	Форма колеб.	v _{exp} [9]	Минимум				Максимум			
			v _h	v _{anh}	ИК	КР	v _h	v _{anh}	ИК	КР
1,3,4-оксадиазол										
A1	q _{CH}	3169	3289	3150	0,19	130	3322	3180	0,82	140,0
A1	Q _{NC}	1534	1558	1520	40,6	19,0	1575	1537	53,1	34,0
A1	β	1278	1296	1269	0,23	13,1	1309	1280	0,52	18,5
A1	Q _{CX}	1092	1105	1080	35,0	6,67	1118	1093	41,9	7,31
A1	Q _{NN}	951	980	955	0,00	5,65	989	961	3,93	6,56
A1	γ _{CXC}	920	947	930	36,5	0,17	950	933	39,0	0,93
A2	ρ	825	808	802	0,00	0,00	838	814	0,00	1,97
A2	χ	653	665	658	0,00	0,26	672	663	0,00	0,51
B1	ρ	852	849	832	17,3	0,11	867	843	25,1	0,47
B1	χ	625	640	628	33,4	0,50	646	633	37,3	1,12
B2	q _{CH}	3167	3284	3143	0,30	26,5	3317	3174	3,87	31,3
B2	Q _{CN} , β	1541	1538	1491	3,79	0,15	1549	1519	4,91	0,32
B2	β	1215	1233	1209	2,34	5,33	1244	1220	2,89	7,63
B2	γ _{NCX}	1078	1081	1038	40,7	1,00	1107	1063	45,3	1,48
B2	γ _{NNC}	925	947	933	0,04	0,59	953	937	1,05	2,30
1,2,5-оксадиазол										
A1	q _{CH}	3148	3269	3135	0,01	92,8	3299	3160	0,87	107
A1	Q _{CN} , β	1420	1452	1414	10,4	18,1	1470	1431	12,7	22,7
A1	Q _{CN} , β	1316	1344	1318	3,77	13,67	1355	1331	4,99	21,5
A1	Q _{CC} , β	1036	1054	1031	0,80	2,96	1067	1045	4,21	5,36
A1	Q _{NX}	872	1036	1014	12,8	5,69	1040	1018	19,3	7,71
A1	γ _{NNN}	1005	896	874	22,7	6,20	909	888	29,1	6,88

СИСТЕМНЫЙ АНАЛИЗ И МАТЕМАТИЧЕСКОЕ МОДЕЛИРОВАНИЕ

A2	ρ	888	884	884	0,00	0,27	907	916	0,00	2,41
A2	χ	635	647	643	0,00	0,09	659	650	0,00	0,31
B1	ρ	838	856	839	31,2	0,00	862	847	44,1	1,18
B1	χ	631	643	633	1,06	0,42	651	640	1,39	0,64
B2	q_{CH}	3138	3256	3121	0,00	57,2	3286	3146	0,45	63,5
B2	Q_{CN}, β	1541	1584	1551	0,00	0,04	1598	1565	0,13	0,15
B2	β	1177	1200	1173	4,62	0,56	1211	1185	5,81	0,75
B2	γ_{CCN}	953	967	955	18,7	3,74	976	964	21,0	5,12
B2	γ_{CNX}	820	849	805	3,80	0,30	877	832	4,83	0,52

Таблица 3
Влияние базиса на вычисленные значения параметров колебательных спектров
1,3,4-тиадиазола и 1,2,5-тиадиазола

Тип сим.	Форма колеб.	v_{exp} [9]	Минимум				Максимум			
			v_h	v_{anh}	ИК	КР	v_h	v_{anh}	ИК	КР
1,3,4-тиадиазол										
A1	q_{CH}	3064	3237	3097	0,18	201	3270	3126	1,45	216
A1	Q_{NC}	1397	1441	1413	45,4	14,86	1462	1438	49,5	23,4
A1	β	1228	1268	1238	0,88	8,46	1283	1254	2,10	13,6
A1	Q_{CX}	891	994	965	19,02	0,77	1003	975	19,7	0,93
A1	Q_{NN}	961	887	871	52,7	13,9	894	879	57,5	18,8
A1	γ_{CXC}	616	619	611	1,30	11,8	625	616	1,77	12,6
A2	ρ	796	786	784	0,00	0,17	806	807	0,00	3,95
A2	χ	622	617	620	0,00	0,21	625	632	0,00	0,47
B1	ρ	820	824	811	38,2	0,00	834	821	48,6	0,02
B1	χ	486	491	485	6,01	0,00	494	488	6,76	0,34
B2	q_{CH}	3084	3233	3093	0,00	2,13	3267	3122	0,99	5,01
B2	Q_{CN}, β	1403	1460	1418	1,75	0,19	1475	1442	3,17	0,54
B2	β	1198	1220	1193	8,32	3,89	1233	1209	9,97	7,95
B2	γ_{NCX}	743	907	894	6,30	0,00	911	897	8,98	0,39
B2	γ_{NNC}	897	714	696	7,52	5,24	726	709	9,42	6,80
1,2,5-тиадиазол										
A1	q_{CH}	3091m	3211	3088	3,90	165	3242	3110	9,64	184
A1	Q_{CN}, β	1350s	1391	1348	10,8	15,3	1416	1386	14,3	18,4
A1	Q_{CN}, β	1251sh	1309	1286	0,00	12,9	1326	1302	0,20	21,0
A1	Q_{CC}, β	1041m	1049	1027	2,61	5,79	1062	1040	3,59	7,01
A1	Q_{NX}	802vs	791	778	20,6	11,5	794	781	23,1	13,0
A1	γ_{NNN}	682w	683	673	0,02	9,14	688	677	0,19	11,0
A2	ρ	908	904	910	0,00	0,12	927	940	0,00	2,02
A2	χ	612	615	611	0,00	0,10	625	617	0,00	0,44
B1	ρ	838vs	858	846	25,3	0,00	864	854	39,2	2,28
B1	χ	515vs	515	509	23,0	0,35	523	517	26,1	0,63
B2	q_{CH}	3108w	3196	3074	0,22	85,0	3228	3096	1,88	92,40
B2	Q_{CN}, β	1461vw	1520	1495	0,06	0,37	1544	1518	0,77	0,56
B2	β	1227s	1252	1230	9,88	1,01	1266	1242	11,8	1,44
B2	γ_{CCN}	895s	902	893	17,2	2,54	912	902	18,9	3,31
B2	γ_{CNX}	769vs	723	702	20,4	2,85	733	715	25,5	3,30

Примечание. Частоты колебаний v_h , v_{anh} в см^{-1} , интенсивности в ИК-спектрах в км/моль , в КР-спектрах – в $\text{\AA}^4/\text{а.е.м.}$

ПРИКАСПИЙСКИЙ ЖУРНАЛ:
управление и высокие технологии № 2 (6) 2009

Ангармонические сдвиги фундаментальных полос (табл. 4) не выходят за границы, удовлетворяющие критерию Борна-Оппенгеймера для адиабатической теории возмущения [2, 3]. Наибольшее смещение имеет место для валентных колебаний связей CH (v_1 и v_{11}).

Таблица 4

**Ангармонические сдвиги фундаментальных состояний
в 1,3,4- и 1,2,5-оксодиазолах, в см⁻¹**

v	1,3,4-оксодиазол		1,2,5-оксодиазол		1,3,4-тиадиазол		1,2,5-тиадиазол	
	X _{ii}	X _i	X _{ii}	X _i	X _{ii}	X _i	X _{ii}	X _i
1	-68,4	-123	-67,6	-120	-70,8	-123	-66,3	-110
2	-17,3	-35,1	-14,5	-39,9	-17,2	-32,7	-15,3	-28,4
3	-4,35	-41,9	-4,29	-32,5	-5,61	-38,6	-9,50	-25,0
4	-4,45	-31,4	-5,35	-28,8	-18,7	-19,7	-6,88	-23,9
5	-15,7	-23,7	-6,52	-25,7	-2,97	-18,6	-2,59	-13,9
6	-4,83	-22,8	-3,42	-28,0	-4,02	-7,98	-5,23	-10,7
7	-1,32	-35,8	0,82	-24,5	-0,52	-21,9	0,62	-19,6
8	-1,25	-12,9	-6,02	-7,99	-1,29	-6,39	-2,55	-8,94
9	-3,67	-31,6	-4,14	-23,0	-3,26	-20,86	-3,43	-16,5
10	-5,17	-18,9	-2,68	-12,8	-0,89	-8,81	-1,16	-8,75
11	-68,5	-123	-68,2	-120	-70,8	-123	-67,3	-108
12	-13,9	-34,3	-17,5	-27,7	-16,5	-35,1	-16,1	-29,4
13	-2,84	-34,5	-3,61	-36,3	-4,31	-34,5	-3,28	-31,2
14	-17,0	-43,8	-0,27	-18,29	-1,18	-18,2	-0,09	-14,3
15	-2,45	-21,0	-17,1	-44,1	-22,4	-19,4	-7,77	-17,7

Таблица 5

Влияние резонансного взаимодействия в 1,3,4-оксодиазоле и в тиадиазолах

i	j	k	F _{ijk}	v ₁	Δ	v ₂	i	j	k	F _{ijk}	v ₁	Δ	v ₂
1,3,4- оксодиазол												6–31 ++G(d)	
6–311 G(d)												2 15 15 50,3 1417 12,5 1413	
3 10 10 28,5 1268 7,15 1264												6–31 ++G(d,p)	
6–311G(d,p)												2 15 15 50,5 1414 12,6 1411	
12 9 8 31,5 1504 11,1 1506												6–311 ++G(d,p)	
3 10 10 28,6 1265 7,17 1263												2 15 15 51,8 1405 12,9 1393	
6–311 +G(d,p)												1,2,5-тиадиазол	
12 9 8 31,9 1503 11,3 1503												6–311 G(d)	
1,3,4-тиадиазол												12 5 15 35,5 1496 12,5 1481	
6–311 +G(d,p)												4 10 10 1,53 1029 0,38 1032	
12 9 8 25,8 1425 9,14 1438												6–311 G(d,p)	
6–31 +G(d)												2 10 9 -35,0 1360 -12,4 1370	
12 9 8 27,0 1430 9,55 1439												12 5 15 35,9 1491 12,7 1483	
2 15 15 50,4 1417 12,6 1413												4 10 10 1,47 1028 0,37 1033	
6–31 +G(d,p)												6–311 +G(d,p)	
12 9 8 26,9 1428 9,53 1439												2 10 9 -35,9 1357 -12,7 1366	
2 15 15 50,6 1414 12,6 1411												12 5 15 35,1 1488 12,4 1476	
6–311 +G(d,p)												6–31 ++G(d,p)	
12 9 8 26,4 1422 9,35 1441												12 5 15 35,8 1496 12,6 1483	
2 15 15 51,8 1405 12,9 1393												6–311 ++G(d,p)	
												2 10 9 -36,1 1358 -12,7 1367	
												12 5 15 35,1 1488 12,4 1476	

СИСТЕМНЫЙ АНАЛИЗ И МАТЕМАТИЧЕСКОЕ МОДЕЛИРОВАНИЕ

Ангармонические резонансы между фундаментальными состояниями и обертонными (при стандартной [8] энергетической щели $\sim 10 \text{ см}^{-1}$) касаются деформационных колебаний (табл. 5), однако расхождение состояний не превышает 20 см^{-1} . Учитывая, что в этом диапазоне спектра фундаментальные полосы отстоят друг от друга на величину более 100 см^{-1} , указанными резонансами можно пренебречь.

Гармонические силовые постоянные 1,3,4- и 1,2,5-оксодиазолов

1,3,4-оксодиазол						1,2,5-оксодиазол					
Тип симметрии A1											
7,54	2,33	-1,16	-0,23	-1,37	0,58	10,85	3,32	-1,50	0,18	-2,09	-0,31
7,58	16,73	-0,25	0,17	-3,44	0,53	10,37	16,53	-0,07	0,15	-4,19	-0,94
2,26	17,12	13,90	0,40	5,86	-1,16	3,38	15,77	10,70	-0,31	4,03	0,83
-0,99	0,22	13,60	10,21	0,35	-0,04	-1,69	-0,22	10,52	9,97	-0,18	0,06
-0,16	0,02	0,16	9,99	10,36	-1,38	0,02	0,24	-0,24	9,94	9,93	0,86
-1,37	-3,51	5,56	0,37	10,12	1,78	-2,16	-4,04	4,04	-0,17	9,80	1,57
0,58	0,51	-1,17	-0,03	-1,26	1,71	-0,35	-0,73	0,86	-0,05	0,79	1,55
Тип симметрии B2											
18,45	5,57	0,01	4,77	-0,24		18,67	4,58	0,30	5,79	-0,58	
18,17	13,58	0,11	7,84	0,94		17,78	10,12	0,16	7,91	-0,53	
5,44	12,97	10,12	-0,26	0,10		4,57	9,71	10,02	0,44	0,00	
0,05	0,15	9,93	11,27	1,13		0,30	0,15	9,85	12,33	-1,18	
4,62	7,82	-0,22	11,23	1,65		5,66	7,73	0,47	12,13	1,61	
-0,16	0,95	0,07	1,12	1,62		-0,54	-0,49	0,00	-1,13	1,58	
Tип сим, A2			Тип сим, B2			Тип сим, A2			Тип сим, B2		
0,63	0,40		0,69	0,65		0,79	-0,67		0,74	-0,42	
0,64	1,31		0,71	2,52		0,79	1,71		0,74	2,36	
0,40	1,27		0,64	2,48		-0,68	1,71		-0,44	2,38	

Зависимость гармонических силовых постоянных от выбранного базиса для каждого соединения продемонстрирована в таблицах 6, 7. Верхнее крыло таблицы соответствует базису 6-31 G(d), нижнее – 6-311 ++G(d,p). Имеющиеся расхождения в значениях соответствующих силовых постоянных для решения обратных колебательных задач и использования схемы переноса силовых постоянных в родственные по электронной структуре соединения следует считать несущественными.

Следует отметить факт заметного изменения соответствующих силовых постоянных в зависимости от расположения атомов азота в пятичленном цикле. Как результат – изменение спектра фундаментальных колебаний в диапазоне ниже 1300 см^{-1} . Именно этот диапазон можно использовать для идентификации соединений.

ПРИКАСПИЙСКИЙ ЖУРНАЛ:
управление и высокие технологии № 2 (6) 2009

Таблица 7

Гармонические силовые постоянные 1,3,4- и 1,2,5-тиадиазолов

1,3,4-тиадиазол						1,2,5-тиадиазол					
Тип симметрии A1											
8,16	2,55	-0,82	-0,33	-1,46	0,57	10,06	3,86	-1,28	0,14	-2,30	-0,36
8,20	15,83	0,09	-0,05	-4,02	0,66	9,73	15,80	-0,33	0,43	-5,47	-1,04
2,68	15,93	8,17	0,05	5,21	-0,78	3,55	15,00	7,57	-0,17	3,67	0,71
-0,83	0,01	7,81	10,00	0,11	-0,07	-1,18	-0,16	7,47	9,63	-0,19	0,05
-0,25	-0,08	0,20	9,85	13,02	-1,20	0,14	0,38	-0,28	9,47	11,47	1,03
-1,49	-4,12	4,87	0,35	12,61	1,68	-2,23	-5,09	3,77	-0,28	11,44	1,73
0,47	0,73	-0,75	0,05	-1,20	1,64	-0,33	-1,00	0,66	0,04	1,01	1,68
Тип симметрии B2											
16,45	4,79	0,06	3,74	-0,45		17,35	4,25	0,65	5,59	-0,38	
16,11	10,97	-0,05	7,81	0,66		16,36	10,67	0,30	8,11	-0,71	
4,57	10,62	10,01	-0,30	0,01		4,23	10,65	9,84	0,63	-0,08	
0,01	-0,08	9,80	11,59	1,24		0,69	0,16	9,69	12,48	-1,47	
3,60	7,73	-0,35	11,81	1,57		5,47	8,18	0,54	12,55	1,73	
-0,37	0,67	0,02	1,24	1,53		-0,51	-0,76	0,01	-1,53	1,71	
Тип сим. A2		Тип сим. B1		Тип сим. A2		Тип сим. B1					
0,64	0,44		0,72	0,66		0,81	-0,65		0,75	-0,41	
0,60	1,08		0,71	1,97		0,80	1,50		0,75	2,01	
0,43	1,07		0,64	1,95		-0,64	1,46		-0,39	1,99	

1. Метод функционала плотности DFT/B3LYP хорошо воспроизводит геометрическую структуру 1,2,5- и 1,3,4-оксодиазолов и тиадиазолов, полученную из эксперимента, и позволяет осуществить интерпретацию колебательных спектров этих молекул. Это дает основание использовать указанный неэмпирический метод в предсказательных расчетах геометрической и электронной структуры соединений, содержащих в качестве фрагмента пятичленные азациклы.

2. Решение задачи в ангармоническом приближении теории молекулярных колебаний позволяет получить хорошее согласие с имеющимися экспериментальными данными по фундаментальным колебаниям исследуемых пятичлененных азациклических соединений. Ангармонические эффекты хорошо описываются адиабатической теорией возмущения. Влиянием резонанса Ферми объяснить расхождение опытных частот и вычисленными в гармоническом приближении не представляется возможным.

3. Введение масштабирующего соотношения типа [1] $v_m = -8.35v_h^2 + 0.9813v_h$ позволяет описать ангармоническое смещение фундаментальных колебательных состояний исследуемых молекул, однако оно излишне при ангармоническом анализе колебательных состояний в задачах обертонной спектроскопии.

Библиографический список

1. *Березин, К. В.* Квантовомеханические модели и решение на их основе прямых и обратных спектральных задач для многоатомных молекул : дис. ... д-ра физ.-мат. наук / Березин Кирилл Валентинович. – Саратов, 2004.
2. *Браун, П. А.* Введение в теорию молекулярных спектров / П. А. Браун, А. А. Киселев. – Л. : ЛГУ, 1983. – 232 с.
3. *Герцберг, Г.* Электронные спектры и строение многоатомных молекул / Г. Герцберг. – М. : Мир, 1969. – 772 с.
4. *Элькин, П. М.* Ангармонический анализ колебательных спектров пятичленных гетероциклических соединений / П. М. Элькин, О. В. Пулин, Е. А. Джамухамбетова // Журнал прикладной спектроскопии. – 2007. – Т. 74, № 2. – С. 153–156.

СИСТЕМНЫЙ АНАЛИЗ И МАТЕМАТИЧЕСКОЕ МОДЕЛИРОВАНИЕ

5. Элькин, П. М. Квантово-химический расчет нормальных колебаний молекул замещенных пятичленных халькоген-гетероциклических соединений с учетом ангармонизма анализ структуры и спектров пятичленных циклических соединений / П. М. Элькин, Е. А. Эрман, О. В. Пулин // Журнал прикладной спектроскопии. – 2009. – Т. 76, № 2. – С. 170–175.
6. Элькин, М. Д. Структурно-динамические модели и ангармонический анализ колебательных состояний пятичленных циклических соединений / М. Д. Элькин, М. А. Эрман, В. Ф. Пулин // Вестник СГТУ. – 2006. – № 4, вып. 4. – С. 38–44.
7. *A new approach to vibrational analysis of large molecules by density functional theory: Wavenumber-linear scaling method* / H. Yoshida, K. Takeda, J. Okamura, A. Ehara, H. Matsuura // Journal of Physical Chemistry. A. – 2002. – Vol. 106, № 14. – P. 3580–3586.
8. Gaussian 03. Revision A.7 / M. J. Frisch [et al.]. – Pittsburgh : Gaussian Inc, 2003.
9. Kwiatkowski, J. S. Molecular structure and infrared spectra of furan, thiofen, selenophene / J. S. Kwiatkowski, J. Leszczynski, I. Teca // Journal Molecular. Structure. – 1997. – Vol. 436–437. – P. 451–480.

УДК 539.193/.194;535/.33/34

МОДЕЛИРОВАНИЕ СТРУКТУРЫ И КОЛЕБАТЕЛЬНЫХ СПЕКТРОВ СЕРОСОДЕРЖАЩИХ СОЕДИНЕНИЙ. МЕТИЛМЕРКАПТАН И ЭТИЛМЕРКАПТАН

М.Д. Элькин, Т.А. Шальнова, Е.А. Джалимхамбетова

На примере молекул метилмеркаптана и этилмеркаптана описывается методика учета ангармонических резонансов при построении структурно-динамических моделей серосодержащих соединений. Расчеты спектров осуществлены в ангармоническом приближении теории молекулярных колебаний неэмпирическим квантовым методом DFT/B3LYP для 12-ти базисных наборов от 6-31G (d) до 6-311 ++G(d,p).

Ключевые слова: метилмеркаптан, этилмеркаптан, адиабатический потенциал, молекулярное моделирование, неэмпирические методы, DFT, колебательный спектр, ИК-спектр.

Key words: methylmercaptan, ethylmercaptan, adiabatic potential, molecular modeling, ab initio methods, DFT, vibrational spectra, IR-spectra.

Построение структурно-динамических моделей сложных молекулярных соединений на основании анализа их адиабатических потенциалов – одна из основных задач молекулярного моделирования. Существуют две методики построения структурно-динамических моделей сложных молекулярных соединений на основании анализа их адиабатических потенциалов. Первая основана на решении обратных колебательных задач [8], вторая использует неэмпирические квантовые методы оценки геометрической и электронной структуры молекул [7].

Согласие полученных результатов с имеющимися экспериментальными данными по колебательным спектрам, сопоставимость силовых постоянных для родственных по электронной структуре молекулярных фрагментов служит обоснованием правомерности схемы заимствования системы силовых постоянных от простых соединений для сложных. На этом основана известная методика фрагментарного расчета колебательных спектров сложных молекулярных соединений [4]. Недостатки этой методики, как и всего подхода, основанного на решении обратных колебательных задач, описаны в диссертации [1].